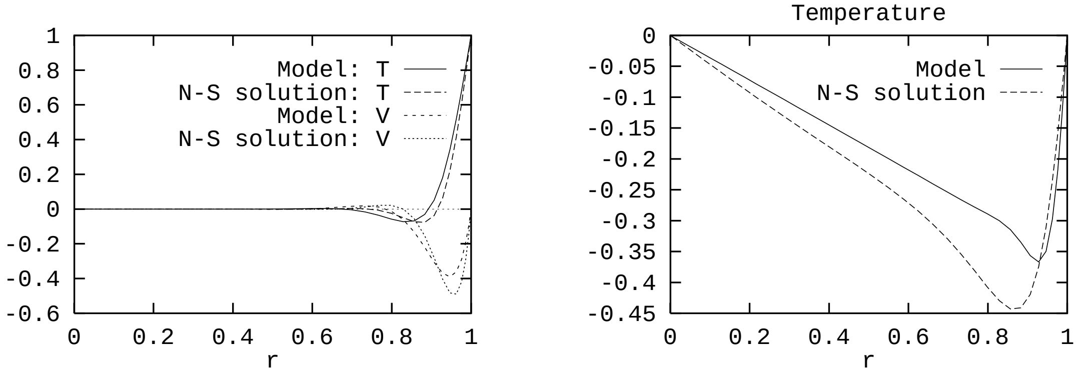


Figure 1: Comparaison des solutions du modèle avec celle des équations de Navier-Stokes pour $Pr = 20$ et $Ra = 10^6$. Profil horizontal à gauche, vertical à droite

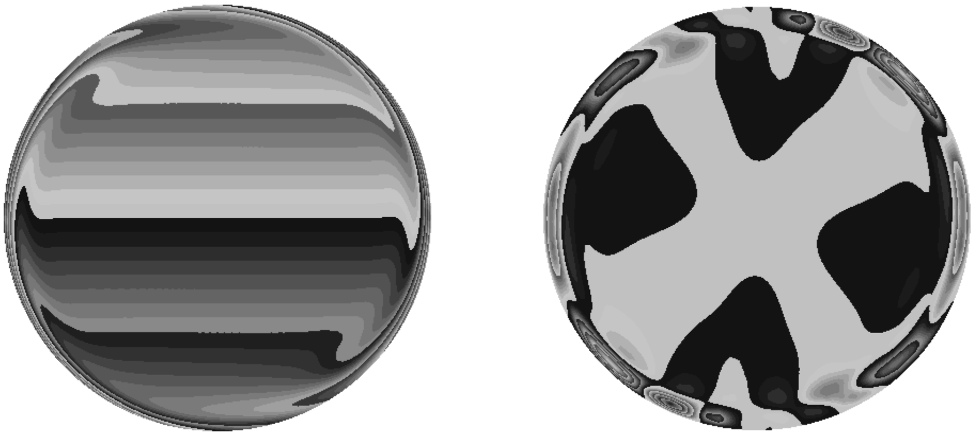

Figure 2: Champs instantanés de température et de fluctuation de température dans le problème canonique pour $Pr = 6$ et $Ra = 6 10^6$.

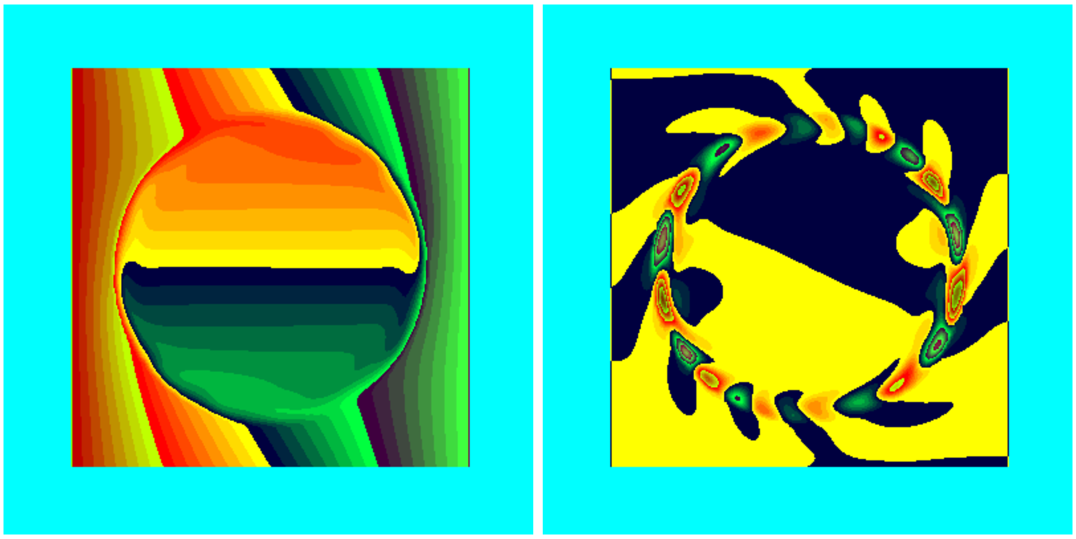

Figure 3: Champs instantanés de température et de fluctuation de température dans le problème couplé pour $Ra = 10^9$. Conditions aux limites périodiques sur les frontières haute et basse. Résolution spatiale ($NI = NJ = 256$).